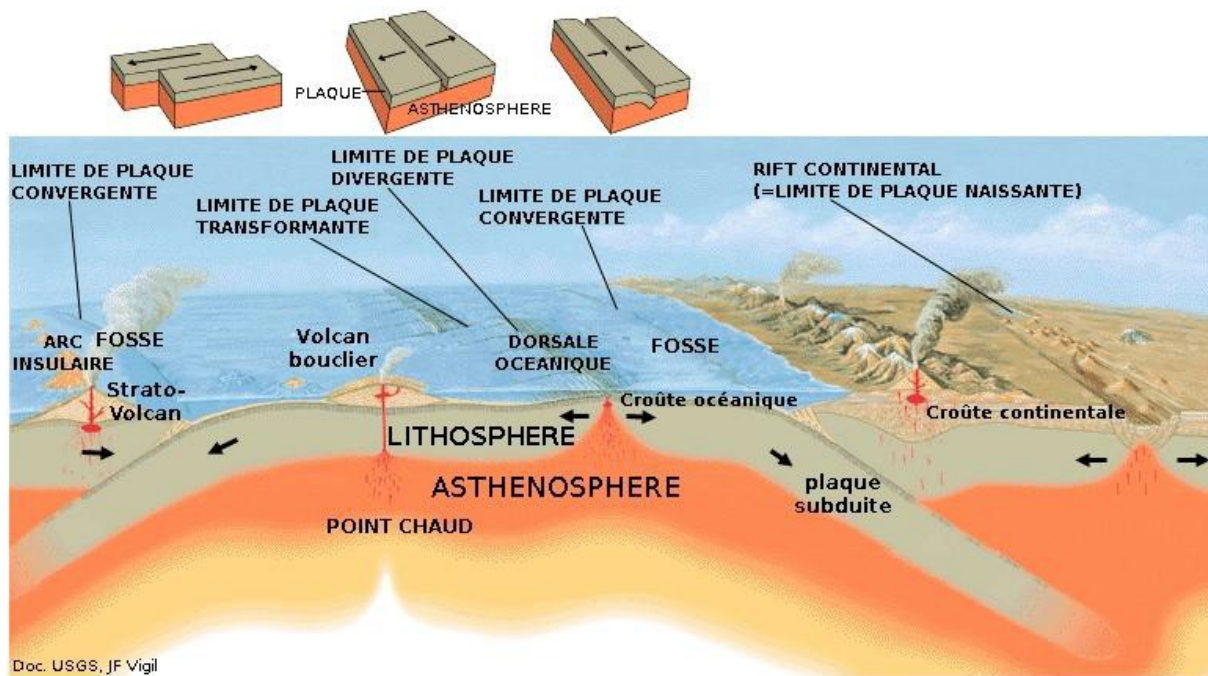


Tectonique des plaques : idées actuelles



Faille de San Andrea



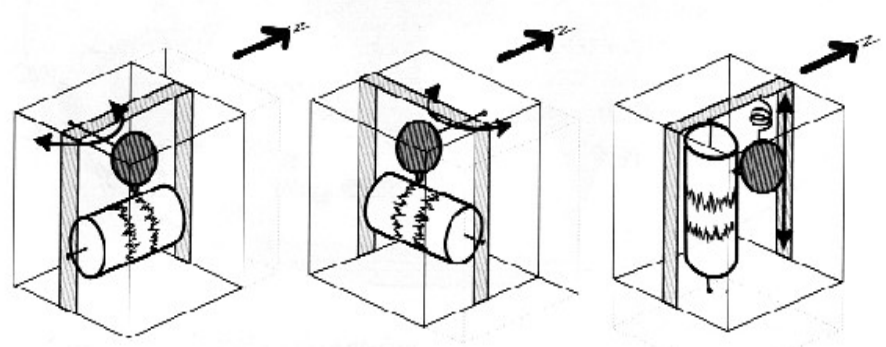
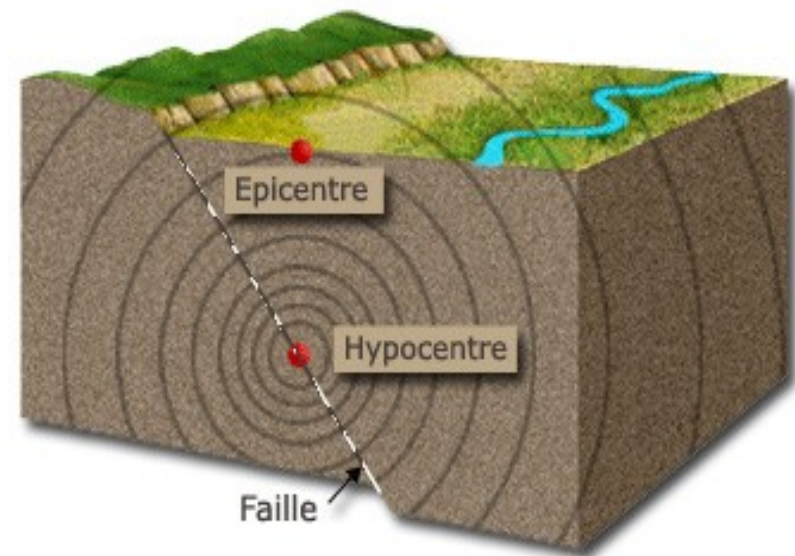
Sismologie



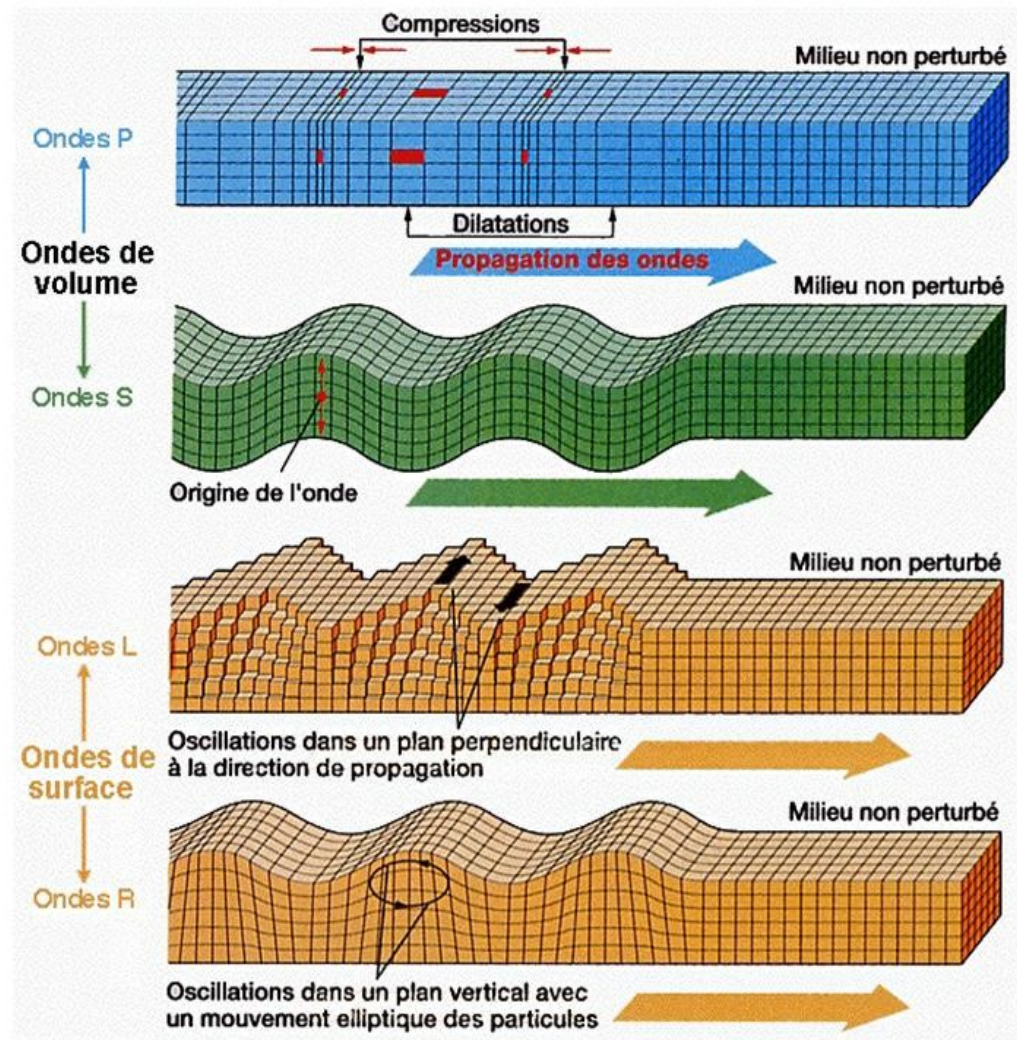
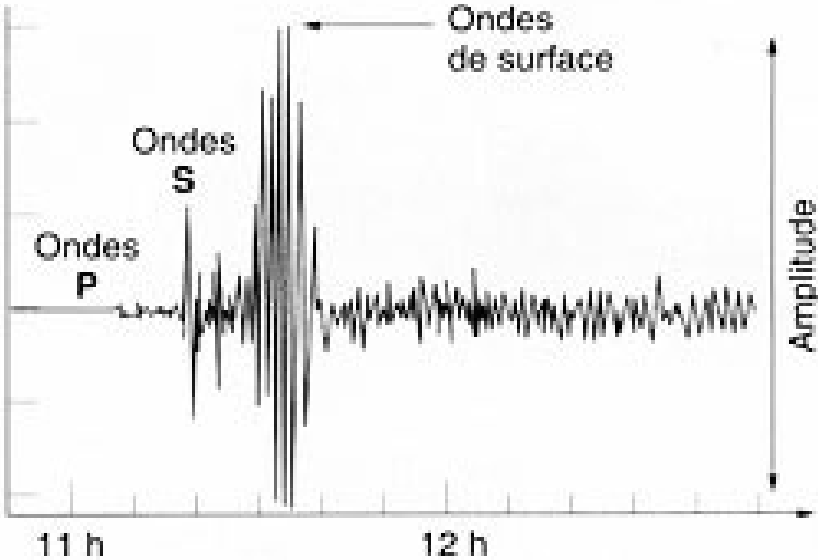
Vue panoramique de San Francisco après le tremblement de terre et l'incendie de 1906



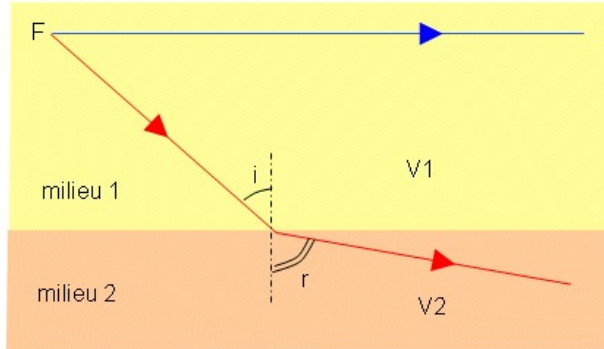
Séisme, sismomètre,
sismographe, sismogramme



Voir : <http://musee-sismologie.unistra.fr/>

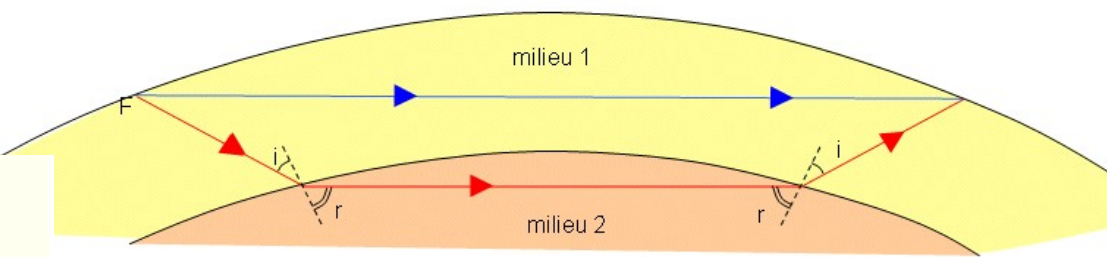


discontinuité
réfraction loi de Descartes

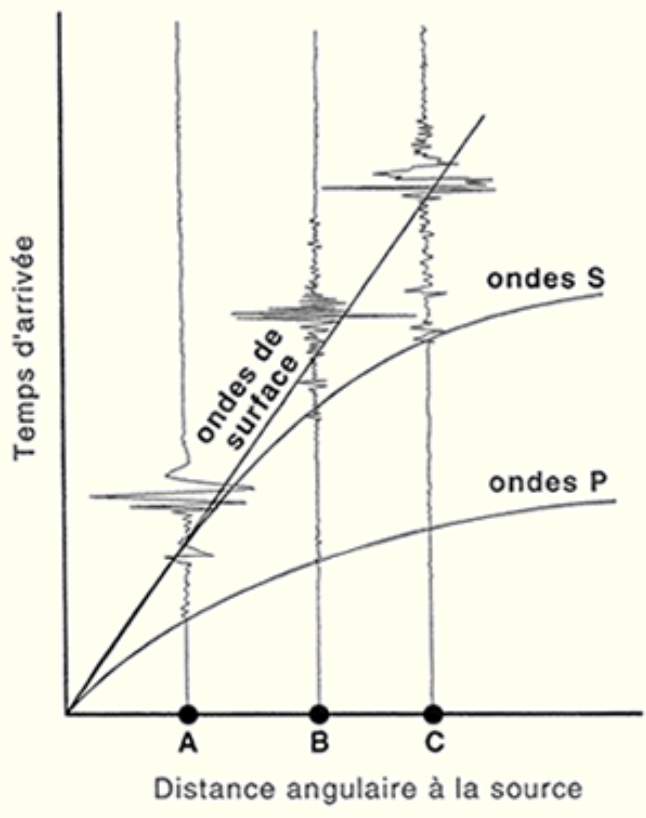


Réflexion, réfraction

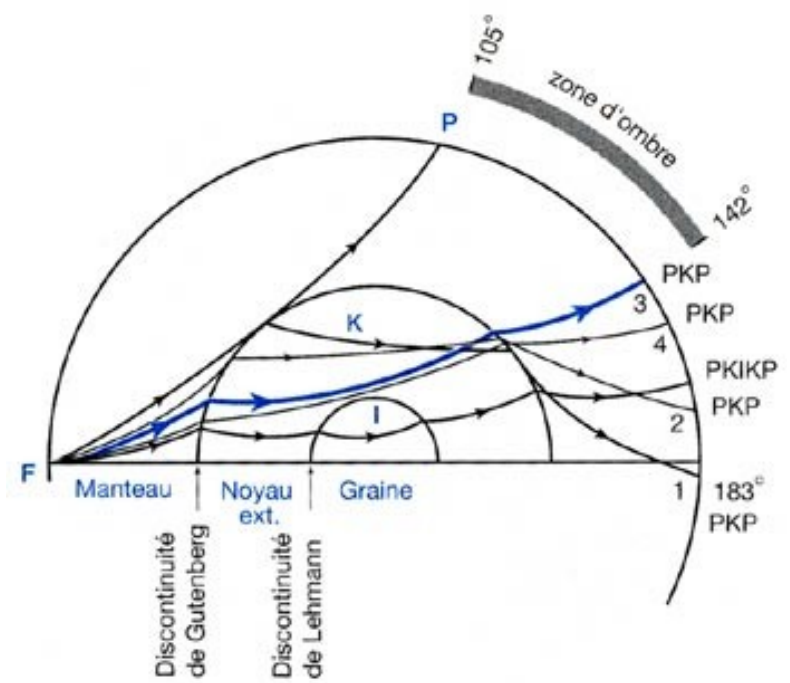
avec la sphéricité

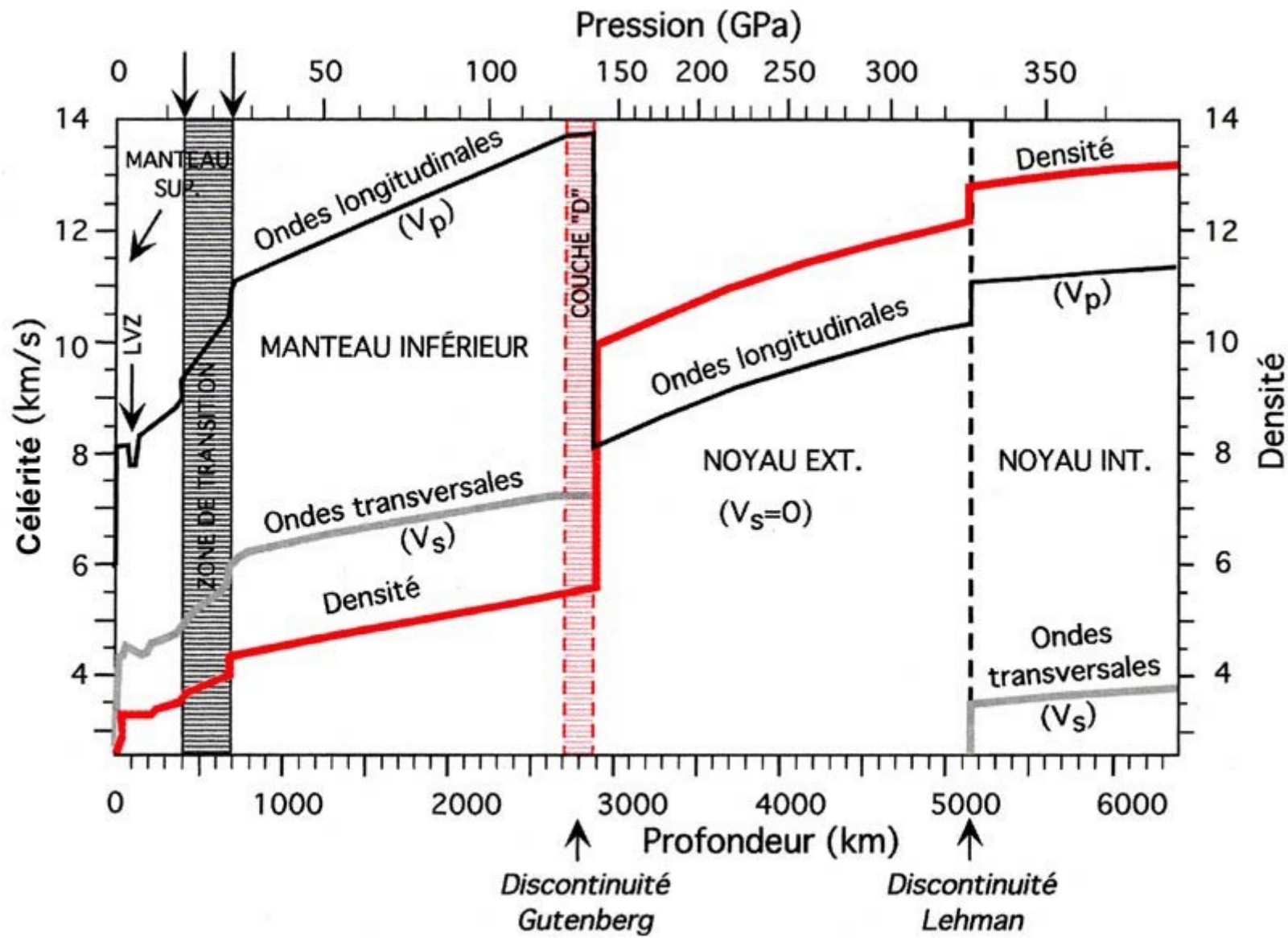


Hodochrones



Discontinuités





Modèle « PREM »

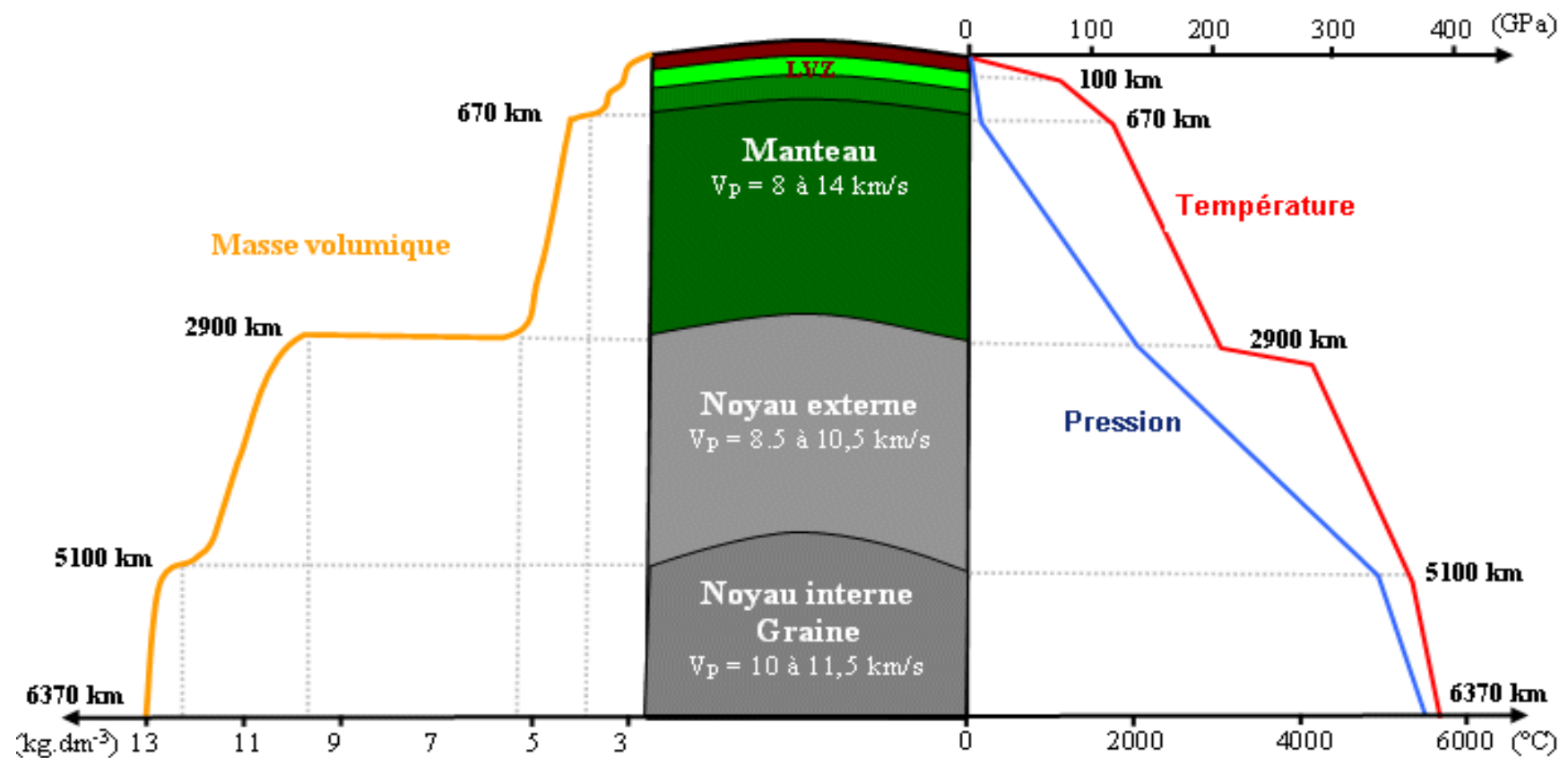
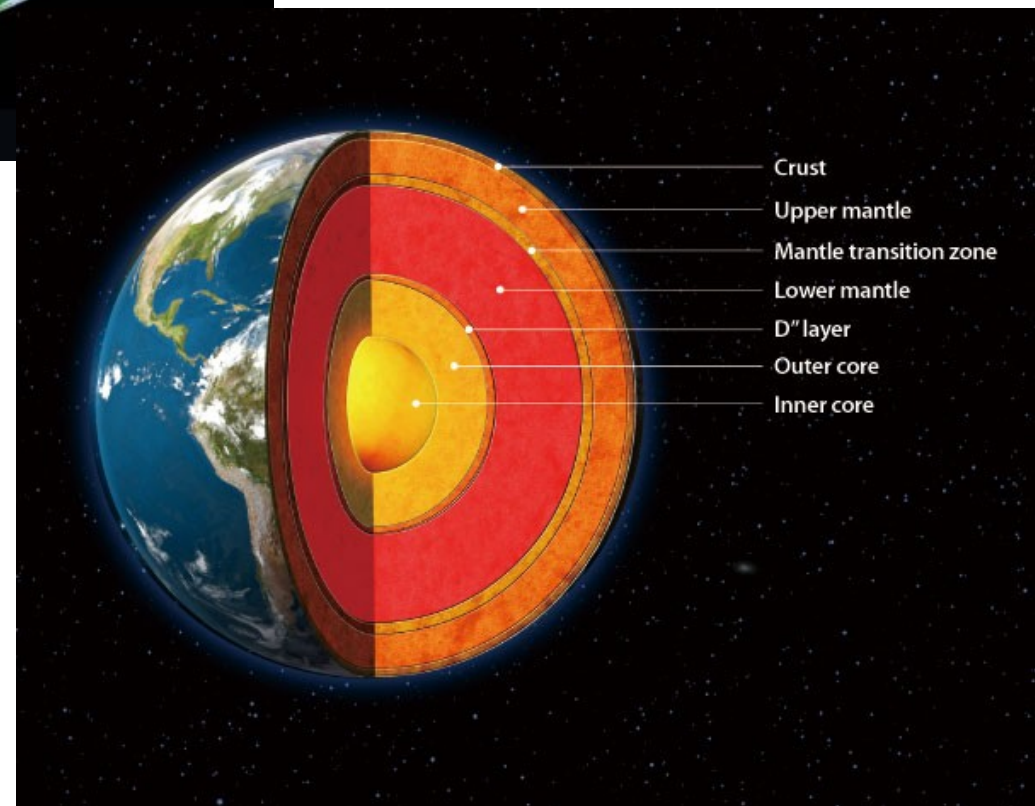




Image: Illustrator Gary Hincks
Source: Photolibarary





Lac de lave du Kilauea, Hawaï, 1954

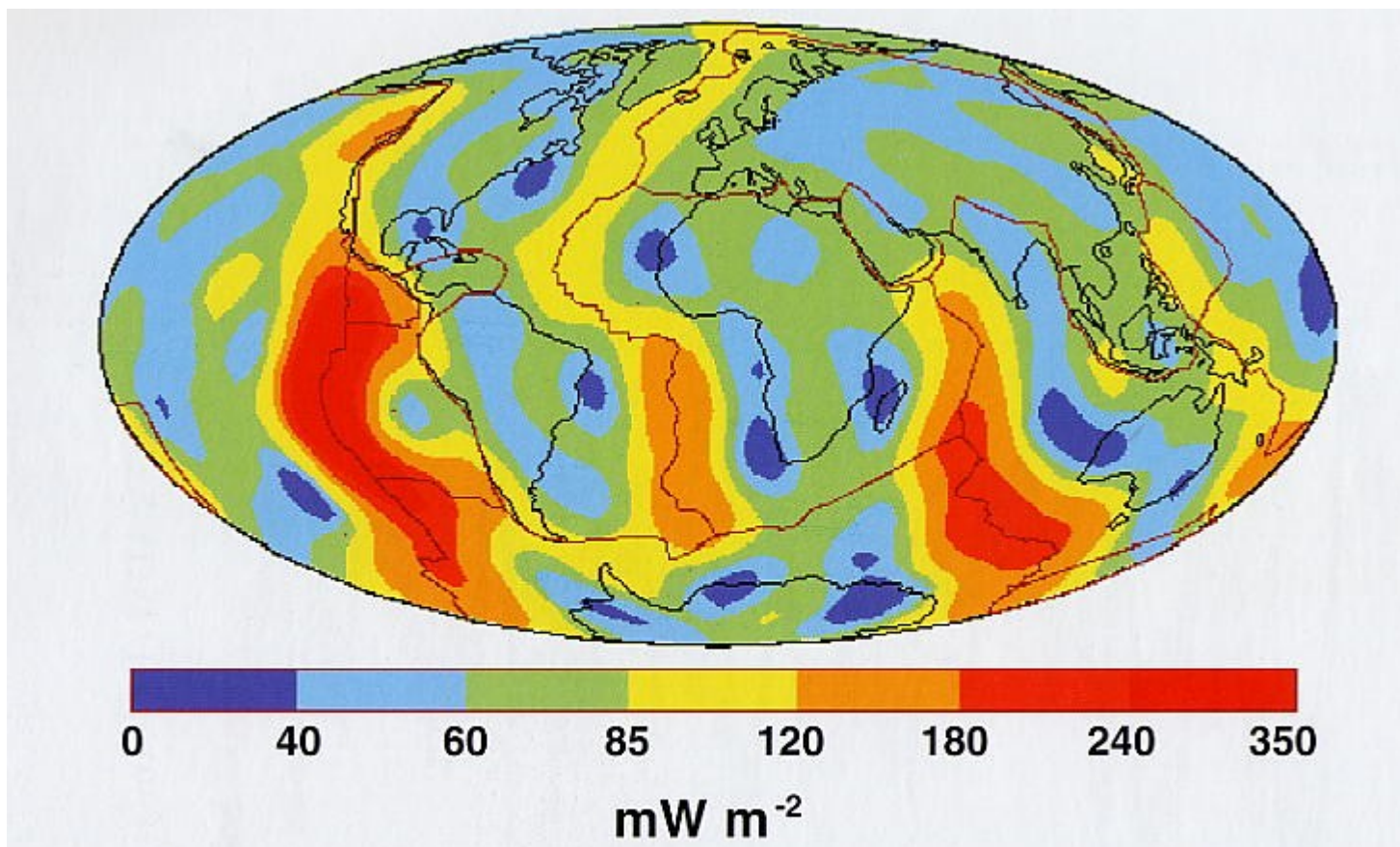
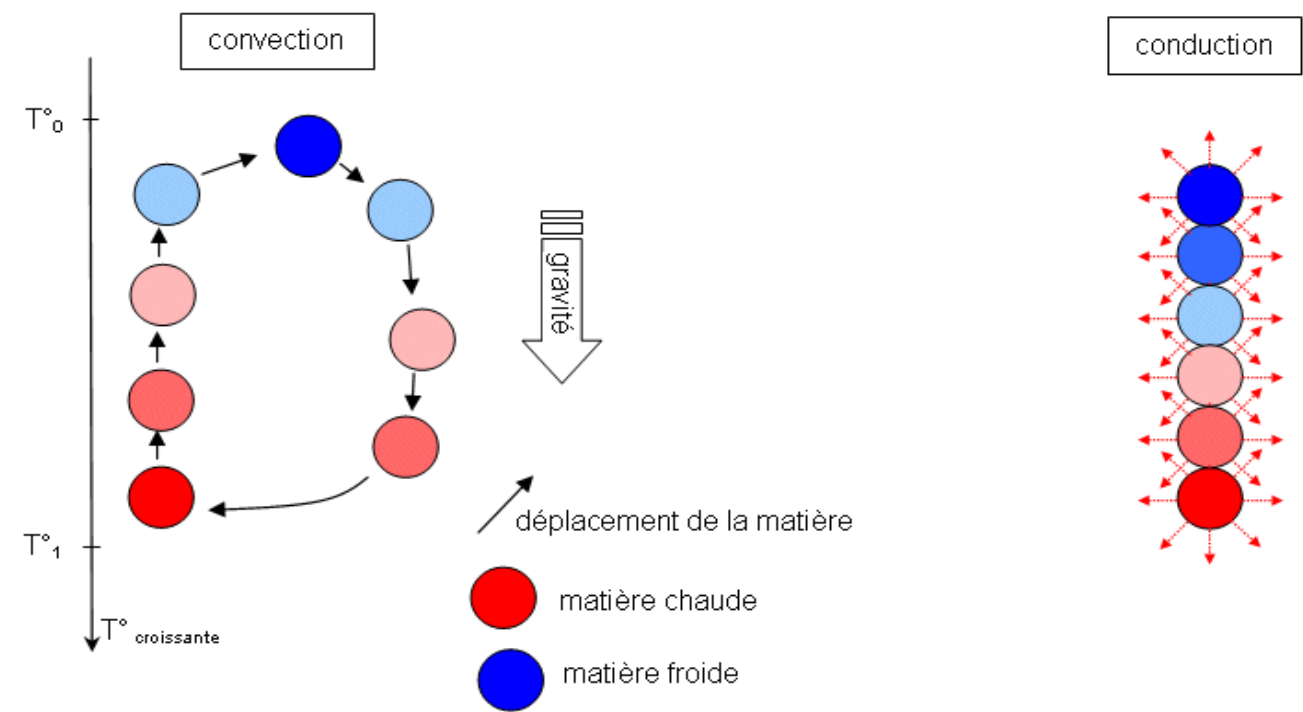


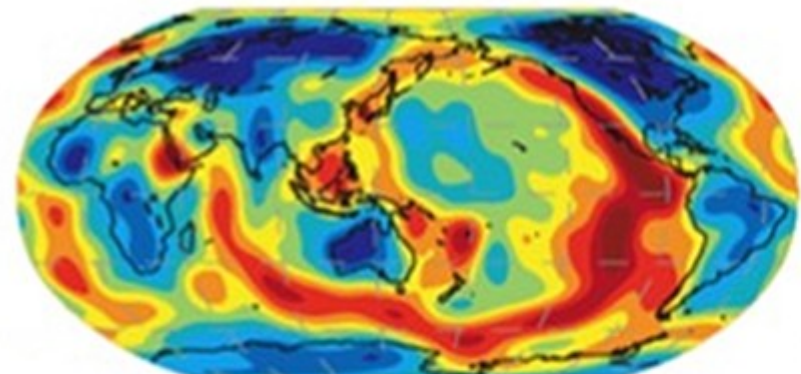
Fig. 5.1 : Cette carte du flux à la surface de la Terre a été élaborée à partir de plusieurs milliers de mesures dans les océans et sur les continents. Les mesures les plus stables sont réalisées au fond des océans en raison de la protection par la couche d'eau qui élimine l'effet superficiel fort important des variations de la chaleur externe. Les mesures à terre se font dans des forages, des puits de mines après retour à l'équilibre thermique (une fois annulés les effets perturbateurs de l'exploitation humaine). Les corrections climatiques doivent aussi être prises en compte (se reporter à la page 188).



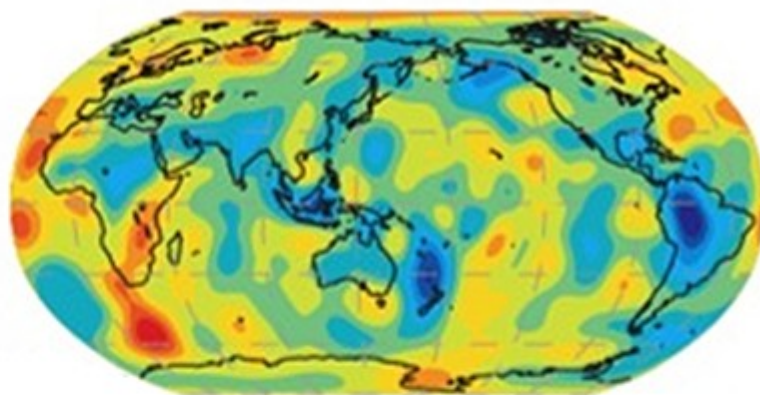
Conduction
Convection/advection



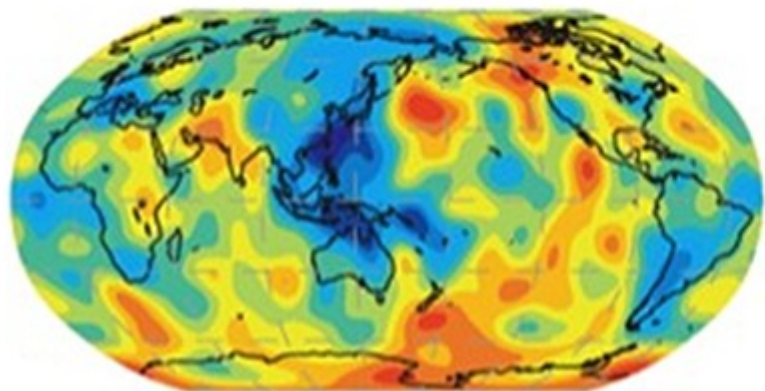
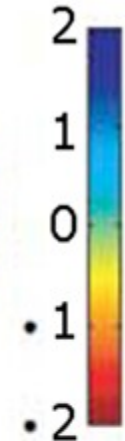
Cartes issues d'un modèle de tomographie sismique



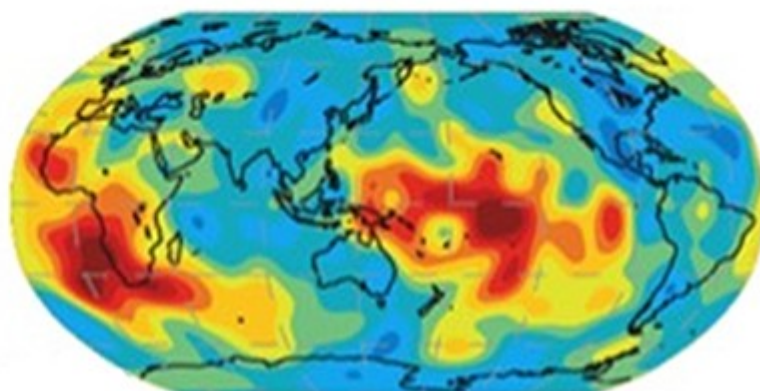
100 km



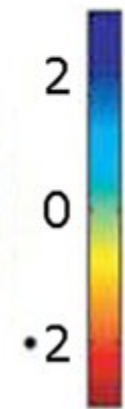
1000 km

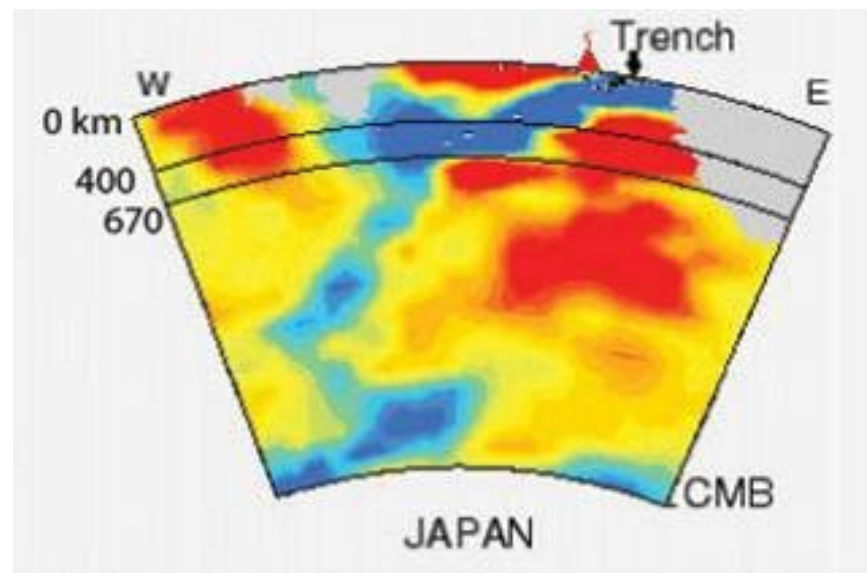


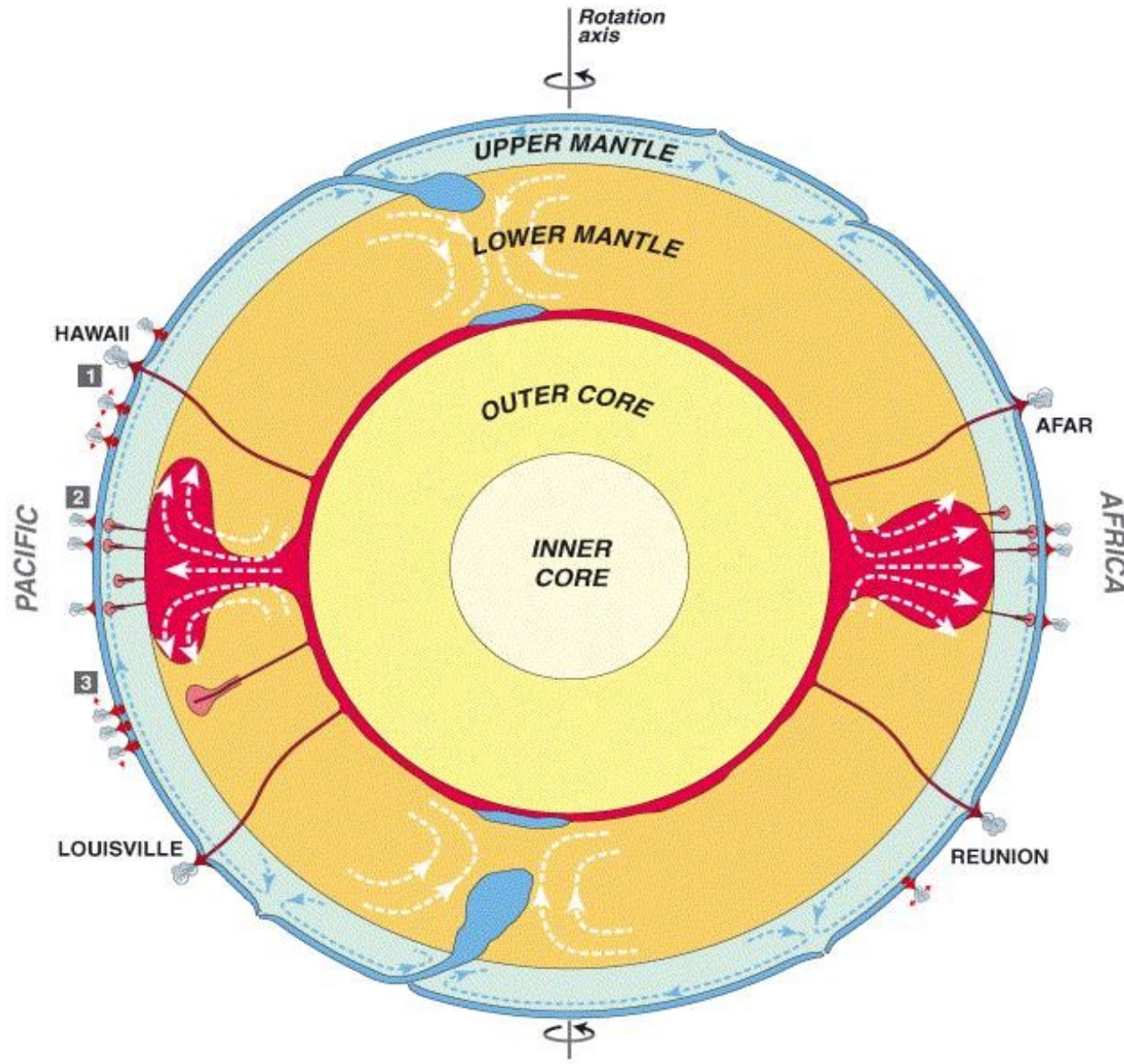
600 km



2800 km







Dynamique mantellique